

九州大学 正員 山崎徳也

学生員 後藤恵輔

1.序 最近、土木および建築構造物において主として重量を増すことなしに剛度を強める経済的見地より多用されつつあるのがキャステレーテッド・ビームである(図-1参照)。これは工型ばりの腹部をコルドソーかまたは自動カス切断装置により連続的にジグザグに切削し、その結果生ずる二つの切半をcrestが一直線を画すように移動し溶接してえられる、いわゆる六角形孔を有するExpanded Beamのことである。

本構造に関する理論的研究は極めて少なく、わずかに M.D Altfilischら¹⁾および Z.

Shoukry²⁾等による簡易解法があるのみで厳密な解法は未だ見当たらないようである。そこ

で著者らは本構造を二次元問題として取扱い理論的に厳密な解析を試みてオ1報³⁾およびオ2報⁴⁾を発表したが、本論では腹部に直線刃で隅を丸めた非正六角形孔を有し自由端に集中荷重をうける工型片持ばり(図-4参照)の孔形状を考慮した孔縁応力式を説明し算例として正六角形孔を有する矩形断面片持ばりの孔縁応力を算定して、隅角部の丸味および shear-moment ratio(後述)が孔縁応力に及ぼす影響も吟味検討した。なお解は複素変数法によって求めることとする。

2.写像函数 図-2に示すとく、Z面の原点に中心を有する六角形KからY面上の単位円K'に、

またKの外部がK'の外部にそれぞれ等角写像されるものとし、かつK上の隅角部t₁, t₂, t₃がK上
のt₁, t₂, t₃に対応するものとすれば Schwartz-Christoffel の変換公式により次式が成立する。

$$\frac{dz}{ds} = N \left(1 - \frac{S_{T_1}}{s}\right)^{\omega_1} \left(1 - \frac{S_{T_2}}{s}\right)^{\omega_2} \left(1 - \frac{S_{T_3}}{s}\right)^{\omega_3} \left(1 - \frac{S_{T_4}}{s}\right)^{\omega_4} \left(1 - \frac{S_{T_5}}{s}\right)^{\omega_5} \left(1 - \frac{S_{T_6}}{s}\right)^{\omega_6} \quad \dots \dots \dots \quad (1)$$

ここに Z=x+iy, S=e^{ax+iby}, (x, y)=直角座標, (a, b)=直交曲線座標, N=Z面とS面とのスケル比。

しかしに $\omega_1=\omega_4, \omega_2=\omega_3=\omega_5=\omega_6=(1-\omega_1)/2$ であり、また $S_{T_1}=-ST_4, S_{T_2}=-ST_5, S_{T_3}=-ST_6$ と円周上にとり、さらに $S_{T_1}=1, ST_2=e^{i\pi}$
 $ST_3=e^{i(\pi-\alpha)}$ であることを考慮して式(1)を積分すれば次式がえられる。

$$z = N \int_s^1 \left(1 - \frac{1}{s}\right)^{\omega_1} \left(1 - \frac{2\cos 2\beta}{s^2} + \frac{1}{s^4}\right)^{(1-\omega_1)/2} ds \quad \dots \dots \dots \quad (2)$$

この積分を直接行なつことは困難であるゆえ、被積分函数を級数に展開する手法をとる。すなわち

$$z = N \int_s^1 \left(1 + \sum_{n=1}^{\infty} \frac{f_{2n}}{s^{2n}}\right) ds$$

ここに f_{2n} ($n=1, 2, 3, \dots$) は ω_1 の函数である。上式より直ちに次式がえられる。

$$z = N \left(s - \frac{f_2}{s} - \frac{f_4}{s^3} - \frac{f_6}{s^5} - \frac{f_8}{s^7} - \frac{f_{10}}{s^9} - \dots \dots \dots \right) \quad \dots \dots \dots \quad (3)$$

式(3)が所要の写像函数であり無限級数によってZ面上の完全な直線刃で隅に丸味を有さない六角形をY面上の単位円に写像する。しかし実際問題として黒限頂点をとることは煩雑を招来するゆえ、本論では Heller, Jr. らの方法⁵⁾を用うこととする。すなわち、式(3)の有限項となり、その項数および係数を変化させることによって直線刃で隅に任意の曲率半径を有する六角形を写像することができ、かかる孔形に適した写像函数が次式のようになられることとなる。

$$z = A s + \frac{B}{s} + \frac{C}{s^3} + \frac{D}{s^5} + \frac{E}{s^7} + \frac{F}{s^9} + \dots \dots \dots \quad (4)$$

3.写像函数の係数の決定 式(4)を展開し両刃の実数部と虚数部ともそれぞれ等置して $s=0$ における孔の境界を定義する式がえられる。

$$\begin{aligned} X &= (A+B)\cos\beta + C\cos 3\beta + D\cos 5\beta + E\cos 7\beta + F\cos 9\beta + \dots \dots \dots \\ Y &= (A-B)\sin\beta - C\sin 3\beta - D\sin 5\beta - E\sin 7\beta - F\sin 9\beta - \dots \dots \dots \end{aligned} \quad \left. \right\} \quad \dots \dots \dots \quad (5)$$

式(5)中の係数 A, B, C, … は実際の孔をなるべく正確に表わすべく決定しなければならぬが、本論では 8ヶの値 A, B, C, D, E, F, G および H を決定し应力計算には A, B, C, D, E および F を用うこととする。係数決定の条件は式(5)で定義される曲線が与えられた一連の点を通過することとし、これらの点を図-3に示すが各点の座標値は次のとくである。

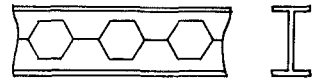


図-1

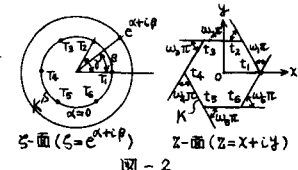


図-2

$$\left. \begin{array}{l} x_1 = 0_1 x + f; \quad y_1 = 0 \\ x_2 = 0_1 x + f \cos \theta_2; \quad y_2 = f \sin \theta_2 \\ x_3 = 0.5 \cos^2 \frac{1-2\theta}{2} \pi; \quad y_3 = 0.25 \sin(1-2\theta)\pi \\ x_4 = 0_2 x + f \cos \theta_4; \quad y_4 = 0_2 y + f \sin \theta_4 \\ x_5 = 0_2 x + f \cos \theta_5; \quad y_5 = 0_2 y + f \sin \theta_5 \\ x_6 = 0_2 x + f \cos \theta_6; \quad y_6 = 0_2 y + f \sin \theta_6 \\ y_7 = 0.5 \lambda \\ x_8 = 0; \quad y_8 = 0.5 \lambda \end{array} \right\} \quad (6)^*$$

ただし $A_x = 0.5$, $B_x = 0.5 - 0.5 \lambda \cot \theta \pi$, $B_y = 0.5 \lambda$, $0_1 x = A_x - f \cos \theta \pi$,

$$0_2 x = B_x - f \tan \frac{\theta}{2} \pi, \quad 0_2 y = B_y - f$$

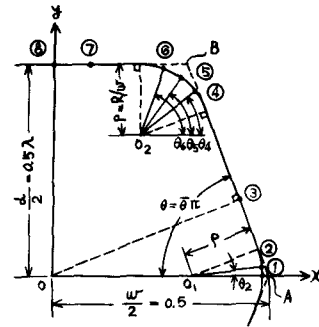


図-3

ここに β_1 は計算の便宜のため、もとの丸味を有さない六角形が単位幅 ($w=1$) となるごとき形状とし高さ (d) は入である。座標 x は解を簡単にするため固定している。対称性より $\beta_1 = 0$, $\beta_8 = \pi/2$ であり β_7 は既知であるとする。式(6)を式(5)に代入することにより未定係数 A, B, \dots, H および未知量 $\beta_2, \beta_3, \dots, \beta_6$ は関する 13 点同次連立方程式がえられ Newton の反復解法により決定される。なお、 $\theta_2, \theta_4, \theta_5, \theta_6$ の値としてはそれぞれ $\pi/12, \pi/4, \pi/3, 5\pi/12$ をとる。

4. 自由端に集中荷重をうける I 型片持ばかり孔縁応力式の説明 図-4 に示すごとき荷重場を考えれば、孔の十分遠く離れた位置にちける腹部の応力は次式で与えられる。

$$\sigma_x = \frac{P(L-x)(y+e)}{I}; \quad \sigma_y = 0; \quad \tau_{xy} = -\frac{P}{2I}[h^2(y+e)^2] \quad (7)$$

ここに e は孔中心から立軸から偏心量、 I はもとの孔を有さない I 型片持の立軸にに関する断面二次モーメント、 L は自由端の集中荷重 P から孔中心までの距離を λ は次式で与えられるものである。⁶⁾ $\lambda^2 = h^2 \left(1 + \frac{2bt_f}{ht_w}\right)$

直角座標における応力 σ_x, σ_y および τ_{xy} は次式に示す Kholosov-Muskheishvili の公式によってポテンシャル函数 $\Psi(z)$ と $\bar{\Psi}(z)$ により決定される。

$$\sigma_x + \sigma_y = 2[\Psi(z) + \bar{\Psi}(\bar{z})] \quad (8)$$

$$\sigma_y - \sigma_x + 2\tau_{xy} = 2[\bar{\Psi}'(z) + \bar{\Psi}'(\bar{z})] \quad \text{ここで } \bar{z} = z + le, \quad l' = \frac{\partial}{\partial z}.$$

かかるに ポテンシャル函数 $\Psi(z)$ および $\bar{\Psi}(z)$ は次式のごとく表わされる。

$$\Psi(z) = \sum_{n=1}^{\infty} A_n z^n + \sum_{n=1}^{\infty} \frac{a_n}{z^n}, \quad \bar{\Psi}(z) = \sum_{n=1}^{\infty} B_n z^n + \sum_{n=1}^{\infty} \frac{b_n}{z^n} \quad (9)$$

式(7)および式(9)を式(8)に代入して未定係数 A_n, B_n を決定すれば、 $\Psi(z)$ および $\bar{\Psi}(z)$ が次のごとくえられることがある。

$$\left. \begin{array}{l} \Psi(z) = \frac{P}{8I} \left\{ 2Lez - (e+L)z^2 + L\frac{z^3}{3} \right\} + \sum_{n=1}^{\infty} \frac{a_n}{z^n} \\ \bar{\Psi}(z) = \frac{P}{8I} \left\{ -4[Le+L(h^2-e^2)]z + (3e+L)Lz^2 - L\frac{z^3}{3} \right\} + \sum_{n=1}^{\infty} \frac{b_n}{z^n} \end{array} \right\} \quad (10)$$

キャステレーテッド・ビームの孔縁はハーフ径 δ が通っている場合を除いて通常何ら外力も作用しないがゆえ、孔縁における境界条件として次式が成立する。

$$\Psi(\delta) + \frac{\bar{\Psi}(\delta)}{\bar{z}(\delta)} \bar{\Psi}'(\delta) + \bar{\Psi}(\delta) = 0 \quad (11)$$

ここに $\Psi(z) = \Psi[z(\delta)] = \Psi(\delta), \bar{\Psi}(z) = \bar{\Psi}[z(\delta)] = \bar{\Psi}(\delta), \delta' = (\delta)_{z=0} = e^{i\beta}$

式(11)より所要のポテンシャル函数 $\Psi(z)$ を決定しうるわけであるが、式(4)の写像函数と式(10)より式(11)に必要諸函数が次のごとく与えられる。

$$\left. \begin{array}{l} \Psi(z) = \frac{P}{8I} \left\{ 2LeA\delta - (e+L)Lz^2 + L\frac{z^3}{3} \right\} + \sum_{n=1}^{\infty} \frac{a_n}{z^n}, \quad \bar{\Psi}(\delta) = \frac{P}{8I} \left\{ 2LeA - 2(e-L)e\delta^2 - L\frac{z^3}{3} \right\} - \sum_{n=1}^{\infty} n \bar{a}_n \delta^{n+1} \\ \Psi(\delta) = \frac{P}{8I} \left\{ -4[Le+L(h^2-e^2)]\delta + (3e+L)L\delta^2 - L\frac{\delta^3}{3} \right\} + \sum_{n=1}^{\infty} \frac{b_n}{\delta^n}, \quad \bar{\Psi}(\delta) = \frac{P}{8I} \left\{ -4[Le-L(h^2-e^2)]\frac{A}{\delta} + (3e+L)L\frac{\delta^2}{\delta^2} + L\frac{2}{3}\frac{\delta^3}{\delta^2} \right\} + \sum_{n=1}^{\infty} b_n \delta^n \end{array} \right\} \quad (12)$$

$$z(\delta) = A\delta + \frac{B}{\delta} + \frac{C}{\delta^2} + \frac{D}{\delta^3} + \frac{E}{\delta^4}, \quad \bar{z}(\delta) = A - B\delta^2 - 3C\delta^4 - 5D\delta^6 - 7E\delta^8 - 9F\delta^{10}$$

* 文献 4)の式(6)には誤りがある。上式に訂正する。

式(12)と式(11)に代入して $\frac{Z(s)}{Z(\bar{s})}$ は相当式と部分分数に展開して整理すれば次式がえられ。

$$\begin{aligned} \varphi(s) &= \left(\frac{C_1}{s} + \frac{C_2}{s^2} + \frac{C_3}{s^3} + \frac{C_4}{s^4} + \frac{C_5}{s^5} + \frac{C_6}{s^6} + \frac{C_7}{s^7} + \frac{C_8}{s^8} \right) \frac{P}{8I} \left\{ 2LeA - L(e-iL) \frac{A^2}{s} - \frac{iA^3}{s^2} \right\} - \sum_{n=1}^{\infty} b_n s^{n+1} \\ &\quad + \frac{P}{8I} \left[-4 \{ Le - i(L^2 - e^2) \} \frac{A}{s} + (3e - iL) \frac{A^2}{s^2} + i \frac{2}{3} \frac{A^3}{s^3} \right] + \sum_{n=1}^{\infty} \bar{b}_n \bar{s}^n = 0 \end{aligned} \quad (13)$$

$$\left. \begin{aligned} C_1 &= \frac{B}{A} + \frac{BC + 3CD + 5DE + 7EF}{A^2} + \frac{B^2D + 6BCF + 10BDF + 9C^2F}{A^3} + \frac{B^3E + 9B^2CF}{A^4} + \frac{B^4F}{A^5} \\ C_3 &= \frac{C}{A} + \frac{BD + 3CE + 5DF}{A^2} + \frac{B^2E + 6BCF}{A^3} + \frac{B^3F}{A^4} \\ C_5 &= \frac{D}{A} + \frac{BE + 3CF}{A^2}, \quad C_7 = \frac{E}{A} + \frac{BF}{A^2}, \quad C_9 = \frac{F}{A} \end{aligned} \right\} \quad (14)$$

式(13)の両辺を $d\bar{s}/2\pi i(s-\bar{s})$ を乘じ Cauchy の定理を用いて積分すれば次式がえられる。

$$\begin{aligned} -\varphi(s) + \frac{P}{8I} \left\{ 2LeA S^2 - (e+iL) A^2 S^3 + i \frac{A^3}{3} S^4 \right\} - \frac{P}{8I} \left\{ 2LeA \left(\frac{C_1}{s} + \frac{C_2}{s^2} + \frac{C_3}{s^3} + \frac{C_4}{s^4} + \frac{C_5}{s^5} \right) \right. \\ \left. - 2(e-iL) A^2 \left(\frac{C_1}{s^2} + \frac{C_2}{s^3} + \frac{C_3}{s^4} + \frac{C_4}{s^5} \right) - iA^3 \left(\frac{C_1}{s^3} + \frac{C_2}{s^4} + \frac{C_3}{s^5} + \frac{C_4}{s^6} \right) \right\} + \bar{a}_1 \left(\frac{C_3}{s} + \frac{C_4}{s^2} + \frac{C_5}{s^3} + \frac{C_6}{s^4} \right) \\ + 2\bar{a}_2 \left(\frac{C_5}{s^2} + \frac{C_6}{s^3} + \frac{C_7}{s^4} \right) + 3\bar{a}_3 \left(\frac{C_7}{s} + \frac{C_8}{s^2} + \frac{C_9}{s^3} \right) + 4\bar{a}_4 \left(\frac{C_9}{s^2} + \frac{C_{10}}{s^3} \right) + 5\bar{a}_5 \left(\frac{C_7}{s^3} + \frac{C_8}{s^4} \right) + 6\bar{a}_6 \frac{C_9}{s^2} \\ + 7\bar{a}_7 \frac{C_9}{s} - \frac{P}{8I} \left[-4 \{ Le - i(L^2 - e^2) \} \frac{A}{s} + (3e - iL) \frac{A^2}{s^2} + i \frac{2}{3} \frac{A^3}{s^3} \right] = 0 \end{aligned} \quad (15)$$

この操作を繰返して続局、次式がえられることとなる。

$$\begin{aligned} -\varphi(s) + \frac{P}{8I} \left\{ 2LeA S^2 - (e+iL) A^2 S^3 + i \frac{A^3}{3} S^4 \right\} + \frac{a_1}{s} + \frac{a_2}{s^2} + \frac{a_3}{s^3} + \frac{a_4}{s^4} + \frac{a_5}{s^5} + \frac{a_6}{s^6} + \frac{a_7}{s^7} \\ - \frac{P}{8I} \left\{ 2LeA \frac{C_9}{s^7} - 2(e-iL) A^2 \left(\frac{C_7}{s^8} + \frac{C_8}{s^9} \right) - iA^3 \left(\frac{C_7}{s^9} + \frac{C_8}{s^{10}} \right) \right\} = 0 \end{aligned} \quad (16)$$

式(15)と式(16)とにおりて S の同次項の係数を比較すれば未定係数 a_1, a_2, \dots, a_7 は関する連立方程式がえられ、これを解くことにより

a_1, a_2, \dots, a_7 が次のごとく決定せられる。

$$\left. \begin{aligned} a_1 &= \frac{PA}{8I} (2Lea'_1 + iA^2a''_1), \quad a_2 = \frac{PA}{8I} (eAa'_2 + LAAa''_2) \\ a_3 &= \frac{PA}{8I} (2Lea'_3 + iA^2a''_3), \quad a_4 = \frac{PA}{8I} (eAa'_4 + iLAa''_4) \\ a_5 &= \frac{PA}{8I} (2Lea'_5 + iA^2a''_5), \quad a_6 = \frac{PA}{8I} (eAa'_6 + iLAa''_6) \\ a_7 &= \frac{PA}{8I} (2Lea'_7 + iA^2a''_7) \end{aligned} \right\} \quad (17)$$

$$\left. \begin{aligned} \text{ここで } a'_1 &= \frac{2-C_1-5C_3C_7-7C_5C_9-3(C_3+C_5C_7)(C_5+5C_7C_9)}{1-3(C_3+5C_7C_9)}, \quad a''_1 = \frac{-5C_3C_7-7C_5C_9-\frac{(2-3C_1+15C_3C_7)(C_5+5C_7C_9)}{1+3(C_3+5C_7C_9)}-\frac{4(L^2-e^2)}{A^2}}{1+C_3-5C_5^2-7C_7^2-\frac{3(C_3+5C_7C_9)^2}{1+3(C_3+5C_7C_9)}} \\ a'_2 &= \frac{-3+2C_1+12C_5C_7+\frac{8C_3C_7}{1-4C_9}}{1-2C_5-12C_9-\frac{8C_3^2}{1-4C_9}}, \quad a''_2 = \frac{1-2C_1+12C_5C_7+\frac{8C_3C_7}{1+4C_9}}{1+2(C_5-6C_7^2-\frac{4C_3^2}{1+4C_9})} \\ a'_3 &= \frac{-C_3-5C_5C_9+A((C_5+5C_7C_9))}{1-3(C_7+5C_9^2)}, \quad a''_3 = \frac{-\frac{2}{3}+C_1-5C_3C_9-A((C_5+5C_7C_9))}{1+3(C_7+5C_9^2)} \\ a'_4 &= \frac{2(C_3+a'_2C_7)}{1-4C_9}, \quad a''_4 = -\frac{2(C_3+a''_2C_7)}{1+4C_9} \\ a'_5 &= -C_5+a'_1C_7+3a''_2C_9, \quad a''_5 = C_3-a''_1C_7-3a'_2C_9 \\ a'_6 &= 2(C_5+a'_2C_9), \quad a''_6 = -2(C_5+a''_2C_9) \\ a'_7 &= -C_7+a'_1C_9, \quad a''_7 = C_5-a''_1C_9 \end{aligned} \right\} \quad (18)$$

したがって式(16)の所要のポテンシャル函数 $\varphi(s)$ が次のごとく決定せられる。

$$\begin{aligned} \varphi(s) &= \frac{PA}{8I} \left\{ 2LeS - (e+iL) AS^2 + i \frac{A^3}{3} S^3 + \frac{eAa'_1+iLAa''_1}{s^2} + \frac{2Lea'_3+iA^2a''_3}{s^3} + \frac{eAA'_1+iLAa''_1}{s^4} \right. \\ &\quad \left. + \frac{2Lea'_5+iA^2a''_5}{s^5} + \frac{eAA'_3+iLAa''_3}{s^6} + \frac{2Lea'_7+iA^2a''_7}{s^7} + 2(e-iL) A \frac{C_9}{s^8} - (2LeC_9-i^2C_7) \frac{1}{s^9} + 2(e-iL) A \frac{C_9}{s^{10}} + iA^3 \frac{C_9}{s^{11}} \right\} \end{aligned} \quad (19)$$

次にこのポテンシャル函数を用いて孔隙応力 $[(\eta_p)_{s=0}]$ が次式のごとく決定せられる。 $(\eta_p)_{s=0} = 2 \left[\frac{\varphi(s)}{Z(s)} + \frac{\bar{\eta}(s)}{\bar{Z}(s)} \right]$ (20)

式(4)と式(19)と式(20)に代入し整理すれば次の孔隙応力式がえられる。

$$\begin{aligned} J_0^2 \left[\frac{(\eta_p)_{s=0}}{PL \frac{C_9}{s^2}} \right] &= \frac{C}{J_0} (Q_0 + Q_2 \cos 2\theta + Q_4 \cos 4\theta + Q_6 \cos 6\theta + Q_8 \cos 8\theta) + \frac{A}{J_0} \frac{e}{L} (Q_1 \cos \theta + Q_3 \cos 3\theta + Q_5 \cos 5\theta + Q_7 \cos 7\theta + Q_9 \cos 9\theta + Q_{11} \cos 11\theta) \\ &\quad + \frac{A}{J_0} (A_1 \sin \theta + A_3 \sin 3\theta + A_5 \sin 5\theta + A_7 \sin 7\theta + A_9 \sin 9\theta + A_{11} \sin 11\theta) + \frac{PA^2}{2I} \frac{I}{PL J_0} (A_2 \sin 2\theta + A_4 \sin 4\theta + A_6 \sin 6\theta + A_8 \sin 8\theta + A_{10} \sin 10\theta + A_{12} \sin 12\theta) \end{aligned} \quad (21)$$

ここで $Q_0 \sim Q_2 = \text{省略} , Q_1 \sim Q_{11} = \text{省略}$

$$\Delta_1 = A^2 AB a_2'' - 3 AC a_2'' + 6 CA a_2'' - 10 AD a_4'' + 15 AD a_3'' - 21 AE a_6'' - 56 AE G + 72 AF C_7 - 90 F^2$$

$$\Delta_3 = -AB - A^2 a_2'' - 5 AD a_2'' + 2 AB a_2'' - 14 AE a_4'' + 9 AC a_6'' - 27 AF a_6'' - 40 AD C_7 - 70 EF$$

$$\Delta_5 = -3 AC - 7 AE a_2'' - 2 AF a_2'' - 18 AF a_4'' + 3 AB a_6'' - 24 AC C_7 - 50 DF$$

$$\Delta_7 = -5 AD - 9 AF a_2'' - 3 AF a_6'' - 8 ABC_7 - 30 CF , \Delta_9 = -7 AE + 8 AC C_7 - 10 BF , \Delta_{11} = AF$$

$$\Delta_2 = -A^2 - A^2 a_2'' - 3 AC a_2'' + 3 AB a_2'' - 15 AD a_3'' + 15 AC a_5'' - 35 AE a_6'' + 35 AD a_7'' - 63 AF a_7'' + 63 AE G + 99 F^2$$

$$\Delta_4 = AB - 5 AD a_2'' - A^2 a_3'' - 21 AE a_3'' + 5 AB a_6'' - 45 AF a_6'' + 21 AC a_7'' + 45 AD C_7 + 77 EF$$

$$\Delta_6 = 3 AC - 7 AE a_2'' - 2 AF a_2'' - 5 A^2 a_5'' + 7 AB a_7'' + 27 AC C_7 + 55 DF$$

$$\Delta_8 = 5 AD - 9 AF a_2'' - 7 AF a_6'' + 9 ABC_7 + 33 CF , \Delta_{10} = 7 AE - 9 AC C_7 + 11 BF , \Delta_{12} = -2 AF$$

$$J_0^2 = S_0 + S_2 \cos 2\beta + S_4 \cos 4\beta + S_6 \cos 6\beta + S_8 \cos 8\beta + S_{10} \cos 10\beta , y_0 = A - B + C - D + E - F$$

$$\therefore \text{ここで } S_0 = A^2 + B^2 + 9C^2 + 25D^2 + 49E^2 + 8(F^2) , S_2 = -2(AB - 3BC + 5CD - 35DE - 63EF) ,$$

$$S_4 = -2(3AC - 5BD - 2CE - 45DF) , S_6 = -2(5AD - 9BE - 21CF) , S_8 = -2(7AE - 9BF) , S_{10} = -10AF .$$

しかるに $e \ll y_0$, $L \gg 1$ であり、さらに $L \gg A, B, C, D, E, F$ であることを考慮すれば、行要

の孔縁応力式が次のとく求められることとなる。

$$J_0^2 \left[\frac{\left(\frac{G_F}{L}\right)^2}{\frac{I}{L}} \right] = \frac{A}{y_0} (A_1 \sin \beta + A_3 \sin 3\beta + A_5 \sin 5\beta + A_7 \sin 7\beta + A_9 \sin 9\beta + A_{11} \sin 11\beta) + \frac{2K^2}{L y_0} \frac{1}{1 + C_3 - 3C_5^2 - C_7^2} (A'_2 \sin 2\beta + A'_4 \sin 4\beta + A'_6 \sin 6\beta + A'_8 \sin 8\beta) \quad \dots (22)$$

$$\text{ここで } A'_2 = 1 + 3C_3 + \frac{6CE - 15D^2 - 35E^2 + 20DF}{A^2} + \frac{6CF - 15BDE - 45CDF}{A^3} - \frac{15B^2DF}{A^4} , A'_4 = 2C_5 + \frac{6CF - 21DE}{A^2} - \frac{21E^2}{A^3}$$

$$A'_6 = 2C_7 - \frac{21DF}{A^2} , A'_8 = 2C_9$$

式(22)において右辺第2項の L は nominal shear stress ($P/2htw$) と nominal bending stress (PLh/I) の比、すなはち shear-moment ratio (τ/δ) を用いて次のとく置き換える。 $L = \frac{1}{\sigma} \frac{I}{2h^2 t_w} \dots \dots \dots (23)$

したがって式(22)の孔縁応力を次式のとく表わすことができる。

$$J_0^2 \left[\frac{\left(\frac{G_F}{L}\right)^2}{\frac{I}{L}} \right] = \frac{A}{y_0} (A_1 \sin \beta + A_3 \sin 3\beta + A_5 \sin 5\beta + A_7 \sin 7\beta + A_9 \sin 9\beta + A_{11} \sin 11\beta) + \frac{2K^2}{\frac{4\pi h^2 t_w}{y_0 I} \frac{1}{1 + C_3 - 3C_5^2 - C_7^2}} (A'_2 \sin 2\beta + A'_4 \sin 4\beta + A'_6 \sin 6\beta + A'_8 \sin 8\beta) \quad \dots (24)$$

5. 計算例

式(4)の写像函数における係数 A, B, C, D, E および F の値を正六角形孔 ($\bar{\theta} = 1/3, \lambda = \sqrt{3}/2$) について計算すれば表-1のとくこと、式(24)にこれらを直角座標系に代入してから $b = h$ とおけば、矩形断面片持ばかりの孔縁応力が隅半径比 R/w を変数として図-5のとく決定せられる。ただし shear-moment ratio $\tau/\delta = 0$ である。

6. 結語 本論は未だ耐荷力が未知で十分な安全度のもとに使用されている

キャステーラード・ビームと理屈的に厳密に解析するための基礎的研究を行なったもので、隣接孔の影響を無視しきつ孔が柱間に比較してかなり大きい場合 ($\lambda > 0.15h$) については考慮していないが、実際構造物の性状を把握するうえにおいて十分効力を發揮しうるものと思われる。キャステーラード・ビームには六角形孔を有するものもあるが、これについても本論の手法をそのまま適用すればよく、隣接孔の影響を考慮した場合および孔がかなり大きい場合と並行して自ら研究進行中であり、有限要素法による解法とともに後日発表予定である。なお数値計算には本学電子計算機 OKITAC-5090H を使用した。

- 1) M.D. Altfeldsch, et al., Weld. Jour. 22-2, Feb. 1957, 2) Z. Shoukry, Weld. Jour. 44-5, May 1965, 3) 山崎・後藤, 九大工学集報, 40-5, 昭和42年1月, 4) 山崎・後藤, 第17回応用力学連合講演会論文抄録集, 昭和42年10月, b) S.R. Heller, Jr., et al., Proc. 3rd U.S. Natl. Congr. Appl. Mech., Jun. 1958, c) S.R. Heller, Jr., et al., Proc. 4th U.S. Natl. Congr. Appl. Mech., P 492, Jun. 1962.

表-1

P	A	B	C	D	E	F
.04	.459187	.000689	.001936	.029517	.002091	.001312
.06	.459533	.000000	.000050	.028853	.000050	.000033
.08	.459333	.000020	.001370	.027242	.001313	.000911
.10	.458745	.000049	.002168	.025605	.002030	.001454
.12	.45870	.000069	.002560	.023997	.002369	.001746
.14	.456780	.000078	.002644	.022430	.002435	.001856

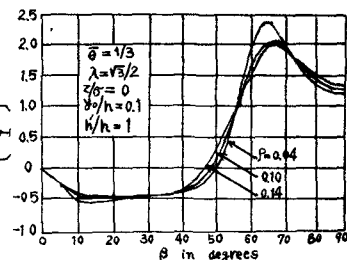


図-5